

Для выбранного варианта диффузора коэффициент потерь полного давления на тракте от выхлопа верхней части ступени СД до входа в ресиверы составил $\xi_{\text{ПД}} \approx 0,81$, что почти в 2 раза ниже, чем в исходном варианте. При этом аэродинамические и энергетические характеристики ступеней СД, НД1 не изменились, а потери полного давления от ступени СД до ступени НД1 снизились на 15%.

Заключение

На примере турбины К-325-23,5 поставлена и решена задача о совершенствовании газодинамических и энергетических характеристик выходного отсека ЦСД мощной паровой турбины. Показана целесообразность применения предложенных мероприятий по модернизации отсека.

Литература

1. Солодов В. Г. Численный анализ аэродинамических и энергетических характеристик отсека «ЦСД–ЦНД–I» паровой турбины К-325-23,5 / В. Г. Солодов, А. А. Хандричайлов, В. Г. Субботин, Е. В. Левченко, В. Л. Швецов, В. А. Конев // Пробл. машиностроения. – 2009. – № 6. – С. 3–8.
2. Solodov V. G. Nonstationary 3D Numerical Model of Last Turbine Stage-Exhaust Hood Aerodynamical Interaction / V. G. Solodov, V. I Gnesin // VDI Berichte – 1995. – № 1185, – Р. 359–370.
3. Солодов В. Г. Научно-прикладной программный комплекс **MTFS®** для расчета трехмерных вязких турбулентных течений жидкостей и газов в областях произвольной формы / В. Г Солодов, Ю. В. Стародубцев // Сертификат гос. регистрац. авторских прав. – УГААСП. – № 5921. – 07.16.02.
4. Starodubtsev Yu. V. Numerical 3D Model of Viscous Turbulent Flow in One Stage Gas Turbine and Its Experimental Validation / Yu. V. Starodubtsev, I. G. Gogolev, V. G. Solodov // J. Thermal Sci. – 2005. – 14, № 2. – Р. 136–141.
5. Аэродинамические характеристики ступеней тепловых турбин / Под ред. В. А. Черникова. – Л.: Машиностроение, 1980. – 262 с.
6. Мигай В. К. Проектирование и расчет выходных диффузоров турбомашин / В. К. Мигай, Э. И. Гудков – Л.: Машиностроение, 1981. – 272 с.

Поступила в редакцию
25.09.09

УДК 621.224

П. Н. Сухоребрый*, канд. техн. наук

С. А. Коваль*

В. Г. Неня **, канд. техн. наук

А. Н. Кочевский **, канд. техн. наук

* Институт проблем машиностроения им. А.Н. Подгорного НАН Украины
(г. Харьков, E-mail: sukhor@ipmach.kharkov.ua)

** Сумський національний університет
(E-mail:alkochevsky@mail.ru)

ОПРЕДЕЛЕНИЕ СТРУКТУРЫ ПОТОКА В СПИРАЛЬНОЙ КАМЕРЕ РАДИАЛЬНО-ОСЕВОЙ ОБРАТИМОЙ ГИДРОМАШИНЫ НА ОСНОВЕ ЧИСЛЕННОГО МОДЕЛИРОВАНИЯ ТЕЧЕНИЯ ЖИДКОСТИ

Рассмотрены результаты расчетного исследования пространственного течения вязкой жидкости в спиральных камерах обратимой гидромашины, рассчитанных по законам: $V_u \cdot r = \text{const}$ и $V_u = \text{const}$. Расчеты выполнены с помощью программного комплекса *FlowVision* в турбинном и насосном режимах работы. В насосном режиме расчеты проведены при различных значениях подачи и угла потока на входе в спираль. Выполнен анализ структуры потока и особенностей течения в двух спиральных камерах.

Розглянуті результати розрахункового дослідження просторової течії в'язкої рідини в спіральних камерах обертоної гідромашини, які розраховані за законами: $V_u r = \text{const}$ та $V_u = \text{const}$. Розрахунки виконано за допомогою програмного комплексу FlowVision в турбінному і насосному режимах роботи. У насосному режимі розрахунки проведені за різних значень подачі і кута потоку на вході в спіраль. Виконано аналіз структури потоку і особливостей течії в двох спіральних камерах.

1. Введение

Сpirальная камера в обратимых гидромашинах при турбинном режиме работы предназначена создать равномерный, с необходимой циркуляцией поток перед рабочим колесом, обеспечивая при этом равномерное поле скоростей как по высоте канала, так и по углу охвата спирали, а также допустимый уровень потерь энергии. Поток, сформированный спиральной камерой, в значительной степени определяет структуру потока и потери энергии в статоре, направляющим аппарате (н. а.) и рабочем колесе (р. к.). Угол потока, формируемый спиральной камерой, зависит от метода расчета и ее размеров.

В насосном режиме спиральная камера обеспечивает равномерный отвод воды от р. к., уменьшает момент скорости и частично преобразует кинетическую энергию потока в энергию давления.

В настоящее время в практике гидромашиностроения при проектировании спиральных камер применяются методы, основанные на допущении о постоянстве момента скорости в любой точке спирали ($V_u r = \text{const}$) или постоянства средней скорости ($V_u = \text{const}$). Реже, для высоконапорных гидромашин, применяется расчет из условия убывания V_u вдоль спирального канала. Наибольшее теоретическое обоснование имеет расчет по закону $V_u \cdot r = \text{const}$, полученный из общих уравнений движения идеальной жидкости в предположении, что течение в спирали потенциальное. Два других закона получены из практики и основаны на результатах экспериментальных исследований гидромашин.

В гидротурбинах большинство спиральных камер рассчитано по закону $V_u \cdot r = \text{const}$, но применение спиральных камер, рассчитанных по закону $V_u = \text{const}$, по данным [1] не ухудшает энергетических показателей гидротурбин, а в некоторых случаях и превосходит их. В лучших центробежных насосах спиральные отводы рассчитаны по закону $V_u = \text{const}$ [2].

В обратимых гидромашинах при одинаковом напоре и частоте вращения, из-за потерь энергии в проточной части, угол потока, создаваемый спиральной камерой в турбинном режиме, больше угла потока, входящего в спираль в оптимуме насосного режима [3]. Это приводит к тому, что размеры спиральной камеры, оптимально удовлетворяющие требованиям турбинного и насосного режимов, будут разными. Решетки н. а. и статора в насосном режиме могут изменить циркуляцию и согласовать угол потока, выходящего из рабочего колеса и входящего в спиральную камеру, однако это приводит к дополнительным потерям энергии.

Указанные выше методы расчета спиральных камер, основанные на допущениях о потенциальном течении идеальной жидкости, не позволяют рассчитать реальные характеристики потока, необходимые для рационального проектирования последующих элементов проточной части. В последнее время созданы комплексы программ, позволяющие с применением современных численных методов рассчитывать трехмерное вязкое течение жидкости в каналах гидромашин [4]. В результате расчета по этим программам можно получить поля скорости и давления, а также осредненные характеристики скорости, угла потока и потери энергии в элементах проточной части.

Одной из таких программ, позволяющей моделировать вязкое трехмерное стационарное течение несжимаемой жидкости в каналах гидромашин, является программный комплекс *FlowVision* [5, 6]. Для решения уравнений гидродинамики используется конечно-объемный метод с прямоугольной сеткой и локальным измельчением. Геометрия расчетной области создается в *SolidWorks* и импортируется в программу. Комплекс *FlowVision* имеет

удобный интерфейс, позволяющий выполнить автоматическую генерацию расчетной сетки, выбрать математическую модель течения и задать граничные условия.

В данной работе представлены результаты расчетного исследования течения жидкости в двух спиральных камерах обратимой гидромашины средней быстроходности на напор до 200 м при ее работе в турбинном и насосном режимах. Спиральная камера № 1 была рассчитана по закону $V_u \cdot r = \text{const}$, а № 2 – по закону $V_u = \text{const}$.

Расчетное исследование выполнено совместно сотрудниками ИПМаш НАН Украины и кафедры прикладной гидроаэромеханики СумГУ, имеющими лицензию на данный программный продукт.

2. Математическая модель течения

При расчете пространственного турбулентного течения несжимаемой жидкости в спиральной камере основными уравнениями математической модели является система уравнений, состоящая из уравнения неразрывности, осредненных по Рейнольдсу уравнений Навье–Стокса и уравнения энергии. Для замыкания этой системы уравнений применена двухпараметрическая k - ε модель турбулентности [7]. Связь между тензором турбулентных напряжений и осредненными параметрами потока устанавливается на основе модели турбулентной вязкости Буссинеска. Полностью уравнения математической модели приведены в [8]. Для численного решения уравнений гидродинамики используется конечно-объемный метод с прямоугольной сеткой и локальным измельчением. При аппроксимации криволинейных границ расчетной области на прямоугольной сетке используется метод подсеточного разрешения геометрии.

3. Результаты расчетного исследования течения в спиральной камере

Исследование течения жидкости выполнено в двух спиральных камерах, отличающихся методом расчета меридиональных сечений: спиральная камера №1 была рассчитана по закону $V_u \cdot r = \text{const}$, а № 2 – по закону $V_u = \text{const}$. Обе имели одинаковое значение диаметра во входном сечении, а значит, одинаковый скоростной коэффициент $K = 0,95$, круглые меридиональные сечения и угол охвата в плане $\varphi_{\text{сп}} = 360^\circ$. Высота проточной части в области н. а. $b_0 = 0,108D_1$, а в области входных кромок статорных колонн $b_1 = 0,216D_1$. Применение закона $V_u = \text{const}$ обеспечивает спиральной камере № 2 большие размеры меридиональных сечений по углу охвата спирали, особенно в области зуба спирали, по сравнению с № 1.

Расчетное исследование течения выполнялось в спиральной камере обратимой гидромашины, имеющей диаметр рабочего колеса $D_1 = 1$ м и напор $H = 1$ м при турбинном и насосном режимах работы.

Результаты расчета в спиральной камере № 1 сравнивались с экспериментальными измерениями потока пятиканальными шаровыми зондами в геометрически подобной спиральной камере, выполненными в ИПМаш НАН Украины на гидродинамическом стенде в модельном блоке обратимой гидромашины с диаметром р. к. $D_1 = 0,35$ м [8, 9].

4. Турбинный режим

В турбинном режиме расчеты выполнены при значении приведенного расхода $Q'_t = 314,3$ л/с. Результаты расчетных исследований течения в спиральных камерах № 1 и № 2 в виде изолиний полной скорости V в плоскости симметрии представлены на рис. 1.

Поля скорости V и её составляющих: окружной V_u , радиальной V_r , осевой V_z и меридиональной $V_m = V_r + V_z$ в меридиональном сечении $\varphi_{\text{сп}} = 180^\circ$ для спирали № 1 показаны на рис. 2, а, и для спирали № 2 – на рис. 3. Изменение характеристик потока по высоте канала в области входных кромок колонн статора ($b_1 = 0,216D_1$) для спиральной камеры № 1 приведены на рис. 2, б.

Результаты расчетных исследований показывают, что течение жидкости в спиральной камере является пространственным. Значения полной скорости V и её окружной составляющей V_u имеют большие значения в области колонн статора, а с увеличением радиуса уменьшаются. Аналогично и расходная составляющая V_r большие значения принимает в об-

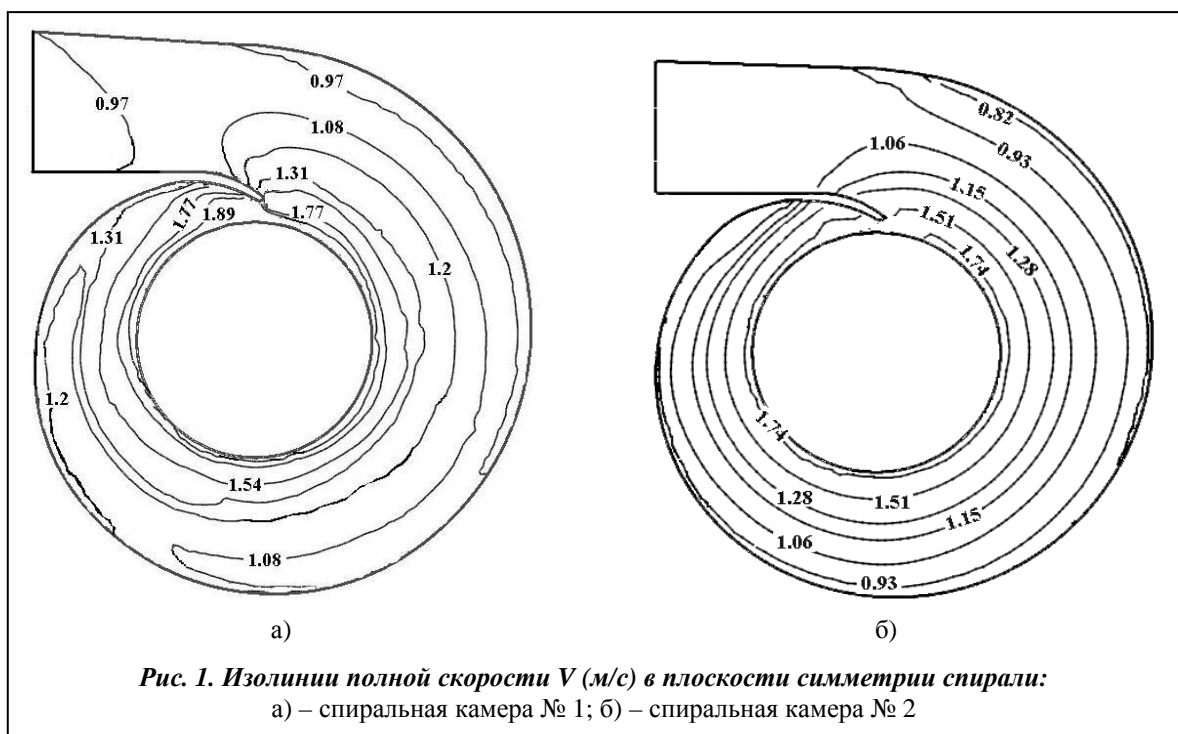
ласти колонн статора и уменьшается при увеличении радиуса. По высоте канала спирали наибольшие значения V и V_u получены в средней части сечения, а у стенок их значения уменьшаются на 10÷15%. Расходная составляющая скорости V_r в средней части сечения имеет наименьшие значения, а у стенок и в области колонн статора увеличивается.

В меридиональных сечениях, уже начиная с $\phi_{\text{сп}} = 45^\circ$, имеет место вторичное вихревое течение в виде симметричного парного вихря, вызванное поворотом в спиральной камере потока вязкой жидкости. Вторичное вихревое течение получено на большей части угла охвата спирали, но в секторе $\phi_{\text{сп}} = 45\text{--}180^\circ$ в меридиональных сечениях имеют место области с отрицательными значениями радиальной (расходной) V_r составляющей скорости (рис. 2, а). Вторичные течения в виде парного вихря получены и при зондировании потока, однако вихрь не симметричен относительно оси симметрии спирали [9].

Отличительной особенностью потока в спиральной камере № 2 от № 1 является более равномерное течение в секторе $\phi_{\text{сп}} > 180^\circ$, особенно в области зуба спирали (рис. 1, 2). Это объясняется тем, что спиральная камера № 2, рассчитанная по закону $V_u = \text{const}$, имеет большие геометрические размеры сечений, чем спиральная камера № 1, особенно в области зуба спирали.

Наличие вторичного течения в спиральной камере приводит к неравномерности значений скорости, ее составляющих и угла потока перед колоннами статора как по высоте канала (рис. 2, б), так и по углу охвата спирали (рис. 4). По высоте канала угол потока изменяется до 7° , меньшие значения получены в средней части канала, а у стенок угол увеличивается. По углу охвата спирали во входном сечении для обеих спиральных камер получены наибольшие значения угла потока. На участке спирали до $\phi_{\text{сп}} = 120^\circ$ угол $\alpha_{\text{сп}}$ уменьшается, а затем плавно возрастает, приближаясь к зубу. Для спиральной камеры № 2 увеличения угла потока в области зуба больше, чем у камеры № 1, что связано с большими размерами камеры № 2.

Таким образом, в турбинном режиме работы статор, являющийся плоской круговой решеткой, обтекается с переменными по высоте колонны углом атаки и значением скорости потока, что приводит к дополнительным потерям энергии.



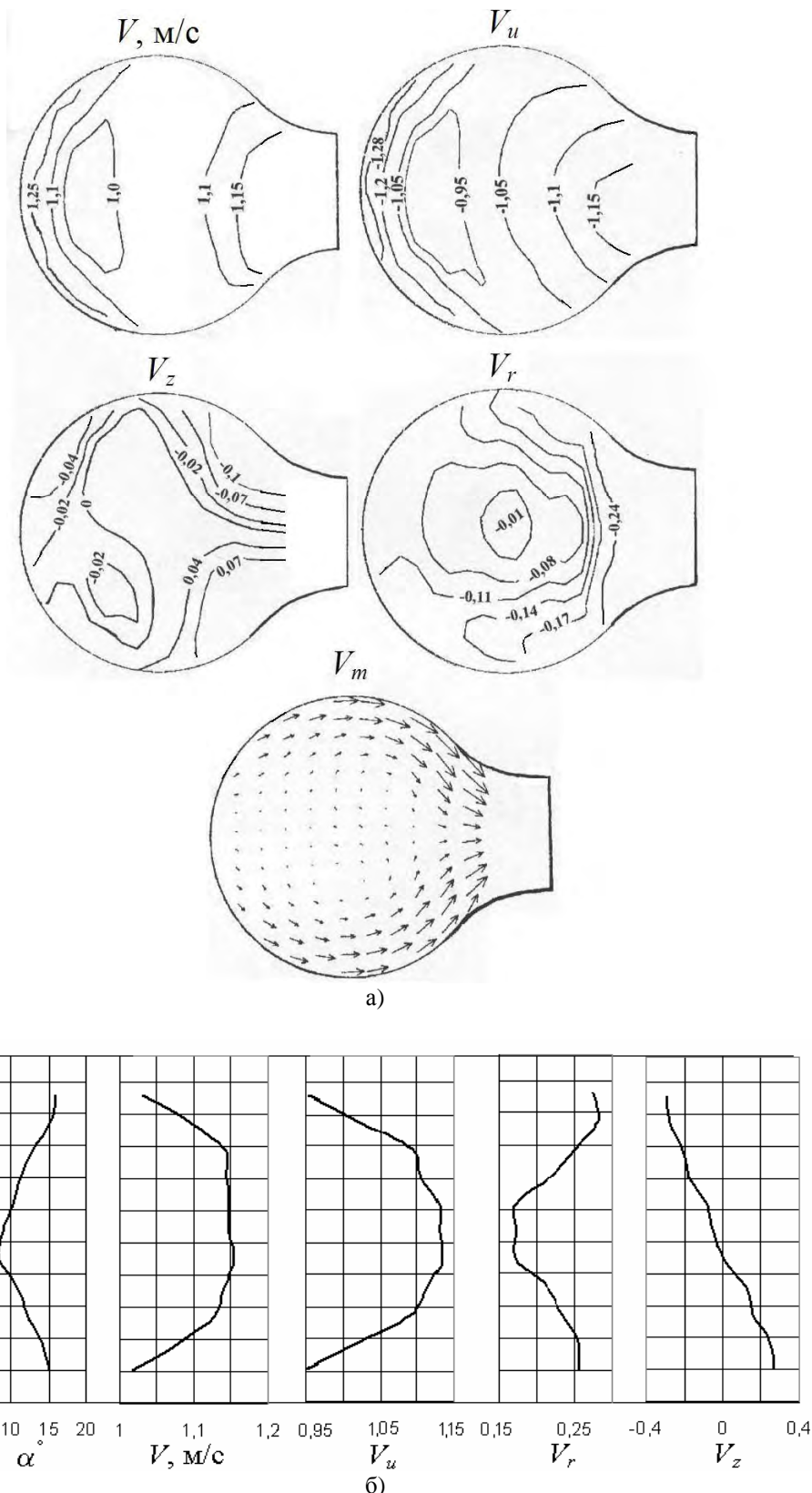


Рис. 2. Структура потока в спиральной камере № 1:

a) – поля скорости в сечении $\phi_{\text{сп}} = 180^\circ$; б) – в области входных кромок колонн статора

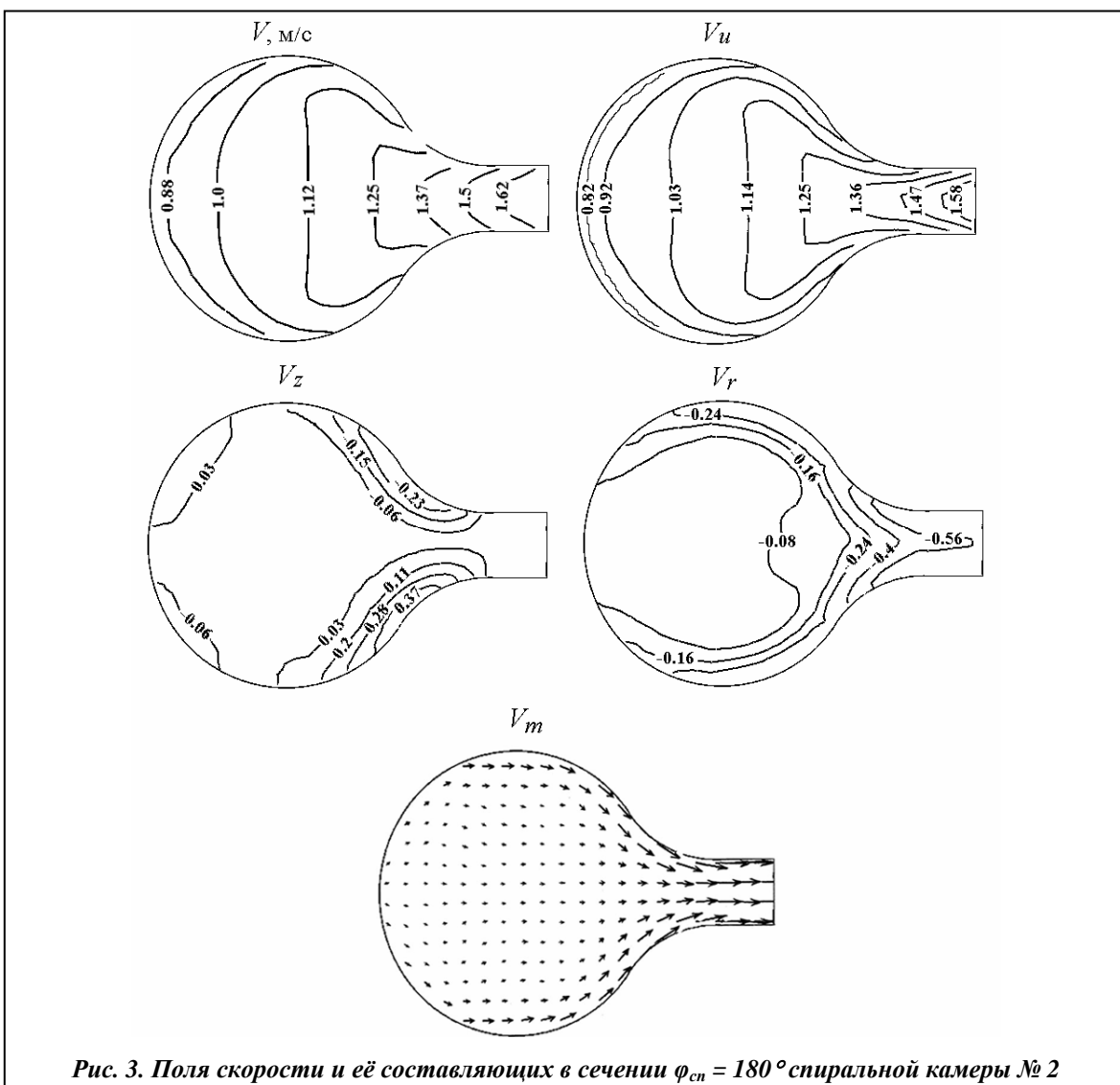


Рис. 3. Поля скорости и её составляющих в сечении $\phi_{сп} = 180^\circ$ спиральной камеры № 2

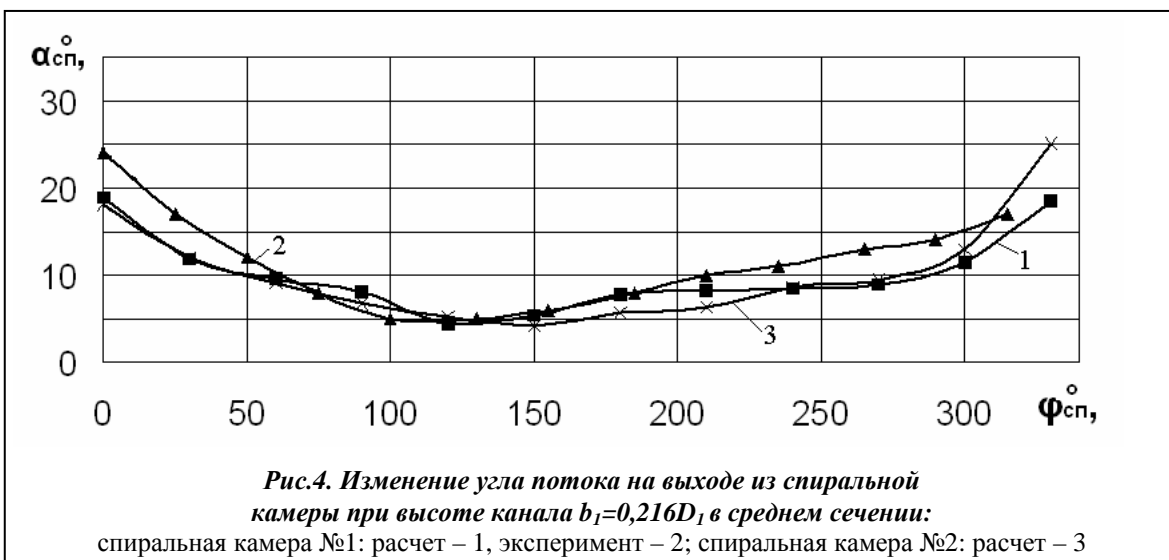


Рис.4. Изменение угла потока на выходе из спиральной камеры при высоте канала $b_1=0,216D_1$ в среднем сечении:
спиральная камера №1: расчет – 1, эксперимент – 2; спиральная камера №2: расчет – 3

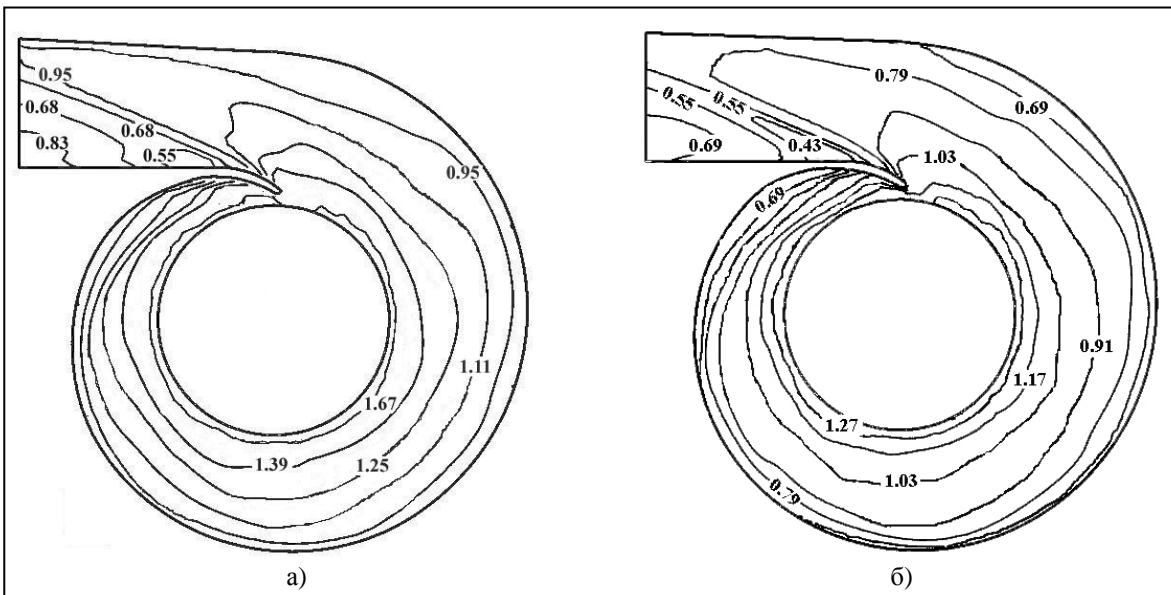


Рис.5. Изолинии полной скорости V (м/с) в плоскости симметрии спиральной камеры:
а) – № 1, $Q'_l = 318,6$ л/с, $\alpha = 26,1^\circ$; б) – № 2, $Q'_l = 250$ л/с, $\alpha = 26,85^\circ$

5. Насосный режим

В насосном режиме работы структура потока в спиральной камере зависит от размеров меридиональных сечений, скорости V и угла потока α на входе, который определяется подачей и открытием направляющего аппарата.

Расчетное исследование течения выполнено в спиральных камерах без учета решетки статора. При расчетах задавалась расходная скорость V_r в цилиндрическом сечении с радиусом $r = 0,6$ м и закрутка потока, характеризуемая углом потока α на входе в спираль.

Расчеты течения в спиральной камере № 1 выполнены для шести режимов работы, отличающихся значениями приведенного расхода и угла потока на входе. Соотношение значений расхода и угла потока получено по результатам экспериментальных измерений потока. Для спиральной камеры № 2 расчеты проведены при $Q'_l = 250$ л/с и трех значениях угла потока на входе в спираль $\alpha = 18,1; 26,85; 35^\circ$.

Результаты расчетных исследований течения в спиральных камерах в виде изолиний полной скорости для плоскости симметрии представлены на рис. 5. Полная скорость V больше на входе в спираль, а с увеличением радиуса значения скорости уменьшаются (рис. 5). Наименьшие её значения получены в выходном патрубке. Получено также локальное сни-

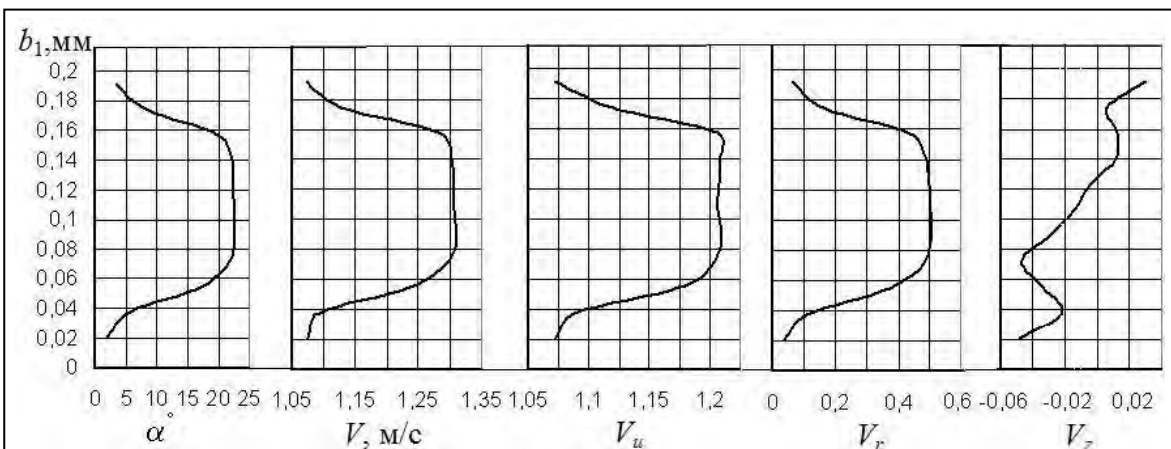


Рис.6. Структура потока в области входных (по турбинному режиму) кромок колонн статора:
спиральная камера № 1, $Q'_l = 318,6$ л/с, $\alpha = 26,1^\circ$

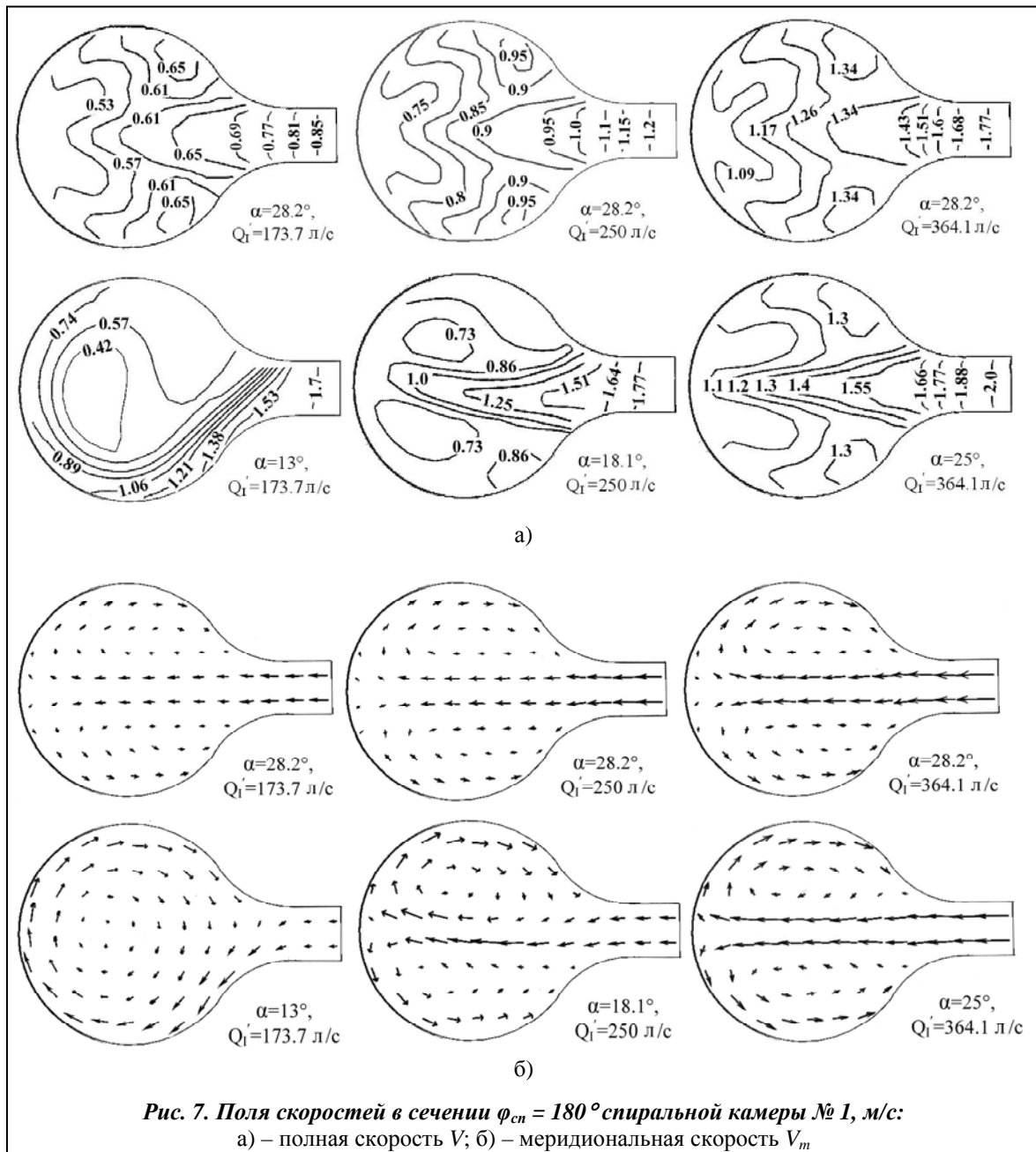
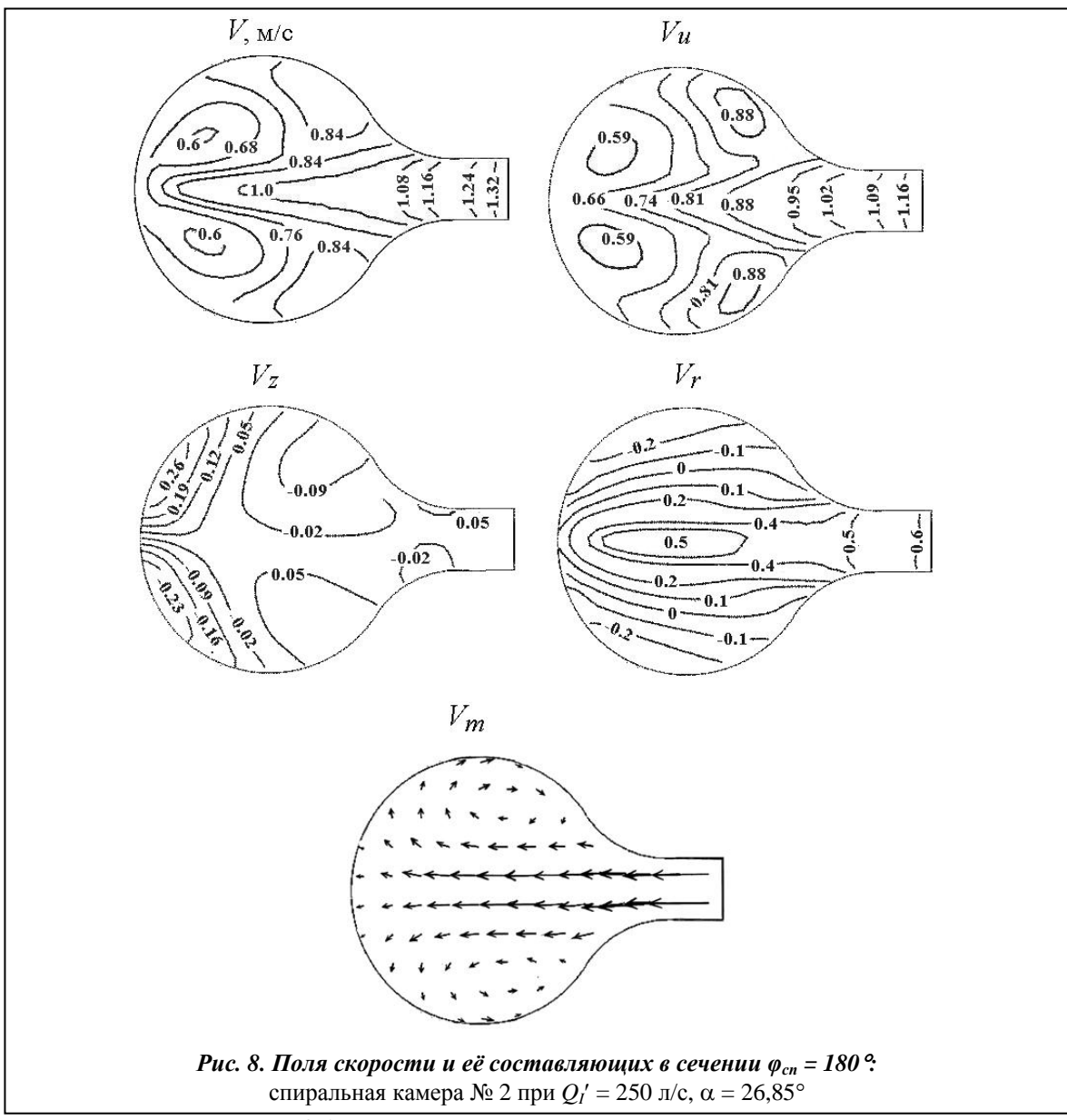


Рис. 7. Поля скоростей в сечении $\phi_{cn} = 180^\circ$ спиральной камеры № 1, м/с:
а) – полная скорость V ; б) – меридиональная скорость V_m

жение скорости за зубом спирали, что связано с неблагоприятным обтеканием зуба.

Структура потока в области входных (по турбинному режиму) кромок колонн статора в сечении с $r = 0,8095$ и высотой $b_1 = 0,216D_1$ представлена на рис. 6. Как видно из рисунка, течение в этой области характеризуется большой диффузорностью канала. В средней части значения полной скорости V и ее окружной составляющей V_u больше, а у стенок резко уменьшаются на 25%. Угол потока в средней части канала равен $22,6^\circ$, а у стенок приближается к нулю, аналогично изменяется и радиальная скорость V_r .

В меридиональных сечениях полная скорость V и окружная составляющая V_u имеют большие значения в области колонн статора, а с увеличением радиуса уменьшаются (рис. 7, а). Значительную часть меридионального сечения спирали, прилегающую к наружным стенкам, занимают области с постоянными значениями скорости V и V_u . Распределение значений радиальной V_r и осевой V_z составляющих скорости в меридиональных сечениях указывает на развитое вихревое течение в виде парного вихря, которое приводит к появле-



*Рис. 8. Поля скорости и её составляющих в сечении $\phi_{cn} = 180^\circ$:
спиральная камера № 2 при $Q'_l = 250 \text{ л/с}, \alpha = 26,85^\circ$*

нию вторичных течений. Области противотоков занимают значительную часть сечения спирали, а отрицательные значения V_r достигают 30% от наибольшего значения радиальной составляющей скорости в этом сечении (рис. 7, б).

При постоянном угле потока на входе в спираль характер течения в меридиональных сечениях практически не меняется, изменяются только абсолютные значения скорости и ее составляющих. С уменьшением угла потока и расхода происходит изменение структуры потока. Увеличиваются области с постоянными значениями полной скорости, возрастают области противотока, а при наименьшем значении подачи и угла потока характер течения изменяется полностью (рис. 7). Скорость V имеет наибольшие значения в нижней части спирали, и эта область составляет меньшую часть сечения, значительную область занимает течение с постоянной скоростью. В меридиональных сечениях вместо парного вихря получено вторичное течение с одним вихрем, расположенным по всему сечению (рис. 7, б).

Структура потока в спиральной камере № 2 такая же, как и в спирали № 1 и зависит от режимных параметров. На рис. 8 показаны поля скорости и ее составляющих в сечении $\Phi_{sp} = 180^\circ$ для спиральной камеры № 2. Изменение расхода при постоянном угле потока на входе приводит к изменению значений скорости и ее составляющих, а изменение угла – не

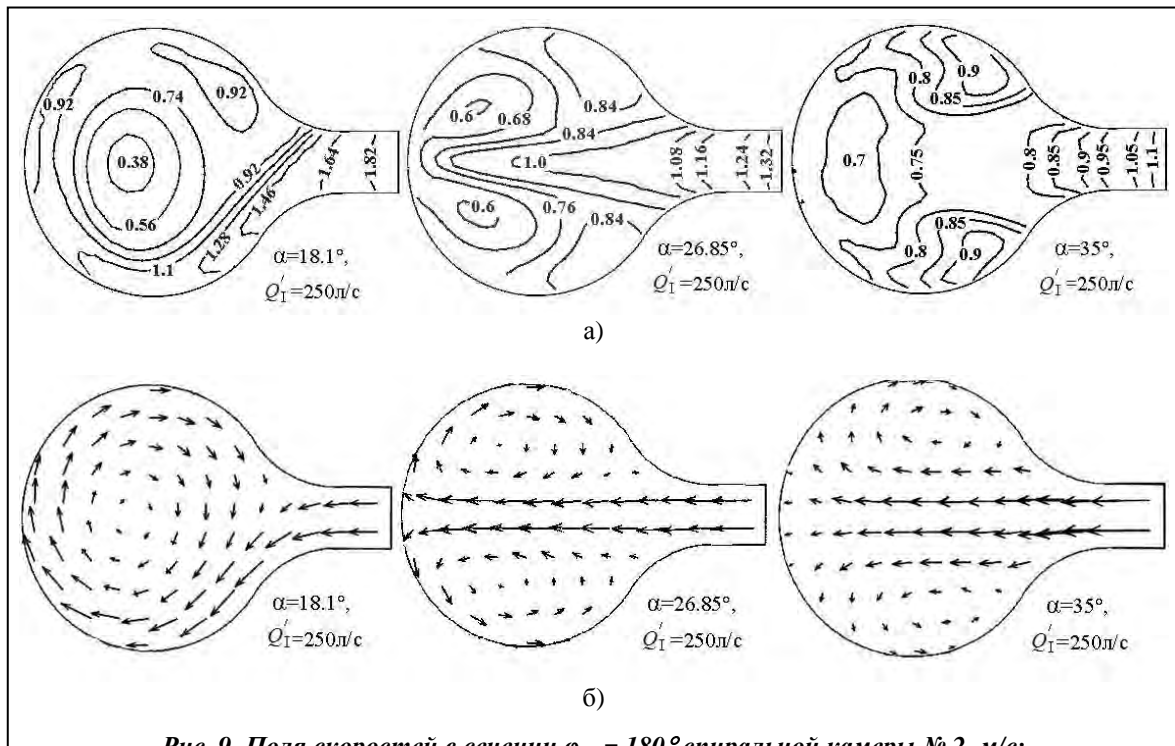


Рис. 9. Поля скоростей в сечении $\phi_{cn} = 180^\circ$ спиральной камеры № 2, м/с:
а) – полная скорость V ; б) – меридиональная скорость V_m

только значений скорости, но и структуры потока в меридиональных сечениях спирали (рис. 9). С уменьшением угла потока на входе в спираль увеличивается абсолютное значение полной скорости, возрастает неравномерность скорости по сечениям и увеличиваются области противотоков. При уменьшении угла потока до значения, которое зависит от размеров меридиональных сечений спирали, наступает изменение структуры течения. В меридиональных сечениях вместо парного вихря получено течение с одним вихрем, расположенным по всему сечению. Абсолютная скорость имеет наибольшие значения в нижней части спирали, увеличиваются области с постоянными значениями скорости, причем наименьшие значения получены в центре сечения (рис. 9). Перестроение потока для спиральной камеры № 2, имеющей большие размеры, чем камера № 1, получено при уменьшении угла α до 18.1° (рис. 9). В спирали № 1 при $\alpha = 18.1^\circ$ структура потока не изменилась, а изменение структуры течения получено при $\alpha = 13^\circ$ (рис. 7).

6. Заключение

Расчетное исследование вязкого трехмерного течения жидкости в спиральных камерах, рассчитанных по различным законам ($V_u \cdot r = \text{const}$ и $V_u = \text{const}$), позволило получить новые данные по характеристикам пространственного потока в спирали при турбинном и насосном режимах работы, определить особенности течения в каждой из спиралей. Полученные результаты по структуре потока полезны при выборе метода расчета спиральной камеры и рациональном проектировании решеток статора и н. а. обратимой гидромашины.

Литература

1. Михайлов И. Е. Турбинные камеры гидроэлектростанций. – М.: Энергия, 1970. – 272 с.
2. Степанов А. И. Центробежные и осевые насосы. – М.: Машгиз, 1960. – 463 с.
3. Грянко Л. П. Обратимые гидромашины / Л. П. Грянко, Н. И. Зубарев, В. А. Умов, С. А. Шумилин. – Л.: Машиностроение, 1981. – 263 с.
4. Скороспелов В. А. Численное моделирование течения во всей проточной части гидротурбины / В. А. Скороспелов, П. А. Турук, С. Г. Черный, С. В. Шаров // Тр. междунар. конф. RDAMM-2001. – 2001. – Т. 6, ч. 2. – С. 570–584.

5. Аксенов А. А. Программный комплекс *FlowVision* для решения задач аэродинамики и тепломассо-переноса методами численного моделирования / А. А. Аксенов, А. В. Гудзовский // Третий съезд Ассоциации инженеров по отоплению, вентиляции, кондиционированию воздуха, теплоснабжению и строительной теплофизике (АВОК): Сб. докл. 22–25 сент. 1993 г., М. – С. 114–119.
6. Кочевский А. Н. Расчет внутренних течений в каналах с помощью программного продукта *FlowVision* // Вестн. Сумск.ун-та: – Сумы, 2004. – 2 (61). – С. 25–36.
7. Launder B. E. The Numerical Computation of Turbulent Flow / B. E. Launder, D. B. Spalding // Comp. Meth. Appl. Eng. – 1974. – 3. – Р. 269–289.
8. Сухоребый П. Н. Характеристики потока в спиральной камере обратимой гидромашины при работе в насосном режиме / П. Н. Сухоребый, С. А. Коваль, В. Г. Неня, А. Н. Кочевский // Пробл. машиностроения. – 2007. – 10, № 2. – С. 15–22.
9. Сухоребый П. Н. Численное исследование течения жидкости в спиральной камере обратимой гидромашины / П. Н. Сухоребый, С. А. Коваль, В. Г. Неня, А. Н. Кочевский // Вестн. Нац. техн. ун-та «ХПИ». – Харьков: НТУ «ХПИ». – 2005. – № 29. – С. 57–66.

Поступила в редакцию
13.12.09